

КРАТКИЕ СООБЩЕНИЯ

УДК 547.495.9:548.737

КРИСТАЛЛИЧЕСКАЯ И МОЛЕКУЛЯРНАЯ СТРУКТУРА 1-ФЕНИЛ-2-НИТРОГУАНИДИНА

А.М. Астахов<sup>1</sup>, А.Д. Васильев<sup>2</sup>, В.А. Ревенко<sup>1</sup>

<sup>1</sup>Сибирский государственный технологический университет, Красноярск, e-mail: alexastachov@mail.ru

<sup>2</sup>Институт физики им. Л.В. Киренского СО РАН, Красноярск

Статья поступила 26 декабря 2011 г.

Молекулярная структура 1-фенил-2-нитрогуанидина не планарна, но содержит два практически плоских фрагмента — нитрогуанильную и фенильную группы. В отличие от ранее изученных нитрогуанидинов, в 1-фенил-2-нитрогуанидине нитрогруппа развернута в сторону вторичной аминогруппы. Несмотря на это структурные параметры нитрогуанильной группы мало отличаются от таковых для нитрогуанидина и его алкилпроизводных. В бензольном цикле не наблюдается симметрии в геометрических параметрах, что объясняется межмолекулярным взаимодействием с соседней молекулой.

**Ключевые слова:** нитrimины, нитрогуанидин, рентгеноструктурный анализ, строение молекул.

К настоящему времени в литературе опубликованы структурные данные для нитрогуанидина и более чем десятка его производных [1]. Строение нитрогуанидина и его монозамещенных производных в целом сходно. Общими особенностями являются: близкая к планарной геометрия нитрогуанильного фрагмента, стабилизированная внутримолекулярной водородной связью, и делокализация  $\pi$ -электронной плотности по нитрогуанильному фрагменту, а в ряде случаев и по заместителю [2]. Вследствие перераспределения электронной плотности длины связей C—N, N—N и N—O имеют промежуточные значения между величинами, характерными для соответствующих одинарных и двойных связей, а формально двойная связь C=NNO<sub>2</sub> в действительности не является не только двойной, а, наоборот, оказывается наиболее длинной C—N связью [1, 3–5]. В связи с этим традиционные валентные формулы нитрогуанидина и его производных не отражают их строения, по крайней мере в кристаллическом состоянии [6]. Во всех нитрогуанидинах, для которых известны структурные данные, нитрогруппа ориентирована на первичную аминогруппу, в противоположную сторону от заместителя вторичной аминогруппы.

В настоящей работе рассматривается кристаллическая и молекулярная структура 1-фенил-2-нитрогуанидина (I), определенная рентгеновским методом.

**Экспериментальная часть.** Соединение I синтезировано по ранее описанному методу [7]. Прозрачные иглы, пригодные для рентгеноструктурного исследования, получены перекристаллизацией вещества из этанола.

Интенсивности 1313 отражений (1238 независимых) измерены на автодифрактометре КМ-4 (KUMA-diffraction) при температуре 300(1) К (CuK $\alpha$ -излучение, графитовый монохроматор, переменное  $\theta/2\theta$ -сканирование). Модель структуры найдена прямыми методами и уточнена полноматричным МНК в анизотропном приближении (изотропное для водородных атомов) по комплексу программ SHELX-97 [8]. Атомы водорода локализованы на разностном синтезе электронной плотности, и их положения уточнялись далее в условиях жесткой связи с основным атомом.

Таблица 1

Длины связей  $d$  ( $\text{\AA}$ ) и валентные углы  $\omega$  (град.) в структуре соединения I

Связь	$d$	Связь	$d$	Связь	$d$
Угол	$\omega$	Угол	$\omega$	Угол	$\omega$
N(1)—N(2)	1,336(2)	C(2)—C(3)	1,372(2)	C(6)—C(7)	1,380(3)
N(2)—C(1)	1,360(2)	C(3)—C(4)	1,392(3)	C(7)—C(2)	1,380(2)
C(1)—N(3)	1,323(2)	C(4)—C(5)	1,361(3)	N(1)—O(1)	1,250(2)
C(1)—N(4)	1,321(2)	C(5)—C(6)	1,364(3)	N(1)—O(2)	1,231(2)
N(3)—C(2)	1,430(2)				
N(1)—N(2)—C(1)	119,9(1)	N(3)—C(2)—C(7)	120,8(2)	C(6)—C(7)—C(2)	119,4(2)
N(2)—C(1)—N(3)	126,4(1)	C(2)—C(3)—C(4)	118,9(2)	C(7)—C(2)—C(3)	120,4(2)
N(2)—C(1)—N(4)	112,9(1)	C(3)—C(4)—C(5)	120,8(2)	N(2)—N(1)—O(1)	123,8(1)
N(3)—C(1)—N(4)	120,7(1)	C(4)—C(5)—C(6)	120,0(2)	N(2)—N(1)—O(2)	115,6(1)
C(1)—N(3)—C(2)	125,3(1)	C(5)—C(6)—C(7)	120,5(2)	O(1)—N(1)—O(2)	120,6(1)
N(3)—C(2)—C(3)	118,7(2)				

Кристаллы соединения I моноклинные, пр. гр.  $P2_1/n$ ,  $a = 7,1079(8)$ ,  $b = 10,225(2)$ ,  $c = 11,945(2)$   $\text{\AA}$ ,  $\beta = 103,29(1)^\circ$ ,  $V = 844,89(5)$   $\text{\AA}^3$ ,  $Z = 4$ ,  $d_{\text{выч}} = 1,416 \text{ г}/\text{см}^3$ ,  $\mu_{\text{Cu}} = 0,92 \text{ мм}^{-1}$ ,  $M = 180,17$ . Результирующие значения:  $wR2 = 10,33$ ;  $S = 1,55$  по всем отражениям и  $R1 = 0,037$  по 1033 отражениям с  $|F| > 4\sigma_F$ . Межатомные расстояния и валентные углы для неводородных атомов приведены в табл. 1.

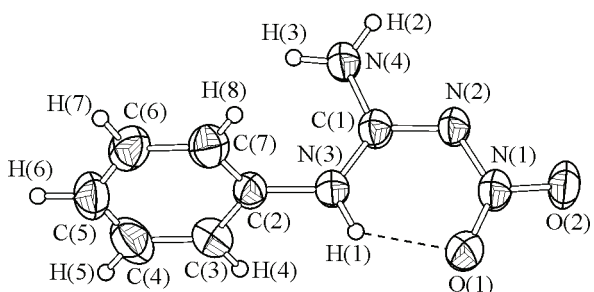
**Результаты и их обсуждение.** Общий вид молекулярной геометрии соединения I показан на рис. 1. Сразу обращает на себя внимание тот факт, что, в отличие от ранее изученных нитрогуанидинов, нитрогруппа в соединении I развернута на содержащую заместитель вторичную аминогруппу.



В целом молекула соединения I не планарна, но содержит два практически плоских фрагмента — нитрогуанильную и фенильную группы. Отклонение от плоскости, проходящей через атомы C(1), N(1)—N(4), O(1) и O(2), составляет 0,043(1)  $\text{\AA}$  (среднеквадратичное) и 0,064(1)  $\text{\AA}$  (максимальное).

Как и в других нитриминах [1], длины связей C—N, N—N и N—O в нитрогуанильном фрагменте соединения I имеют промежуточные значения между величинами, характерными для соответствующих одинарных и двойных связей (см. табл. 1), что свидетельствует о делокализации  $p$ -электронной плотности. Формально двойная связь C(1)—N(2) также является наиболее длинной связью C—N в нитрогуанильной группе.

Угол между плоскостями нитрогуанильной и фенильной группами составляет 64,30(5) $^\circ$ .



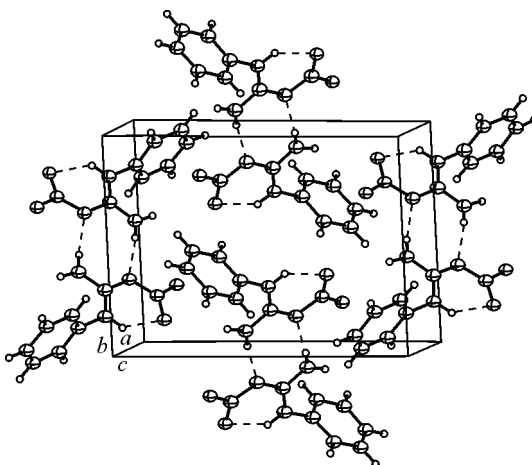
Такая взаимная ориентация двух групп препятствует их сопряжению за счет перекрывания  $\pi$ -орбиталей, которое могло бы быть при общей планарной геометрии молекулы. Длина связи N(3)—C(2) между нитрогуанильной и фенильной группами составляет 1,430(2)  $\text{\AA}$ , что под-

Рис. 1. Молекулярное строение соединения I

*Рис. 2.* Упаковка молекул в кристалле соединения I.  
Штриховыми линиями показаны внутри- и межмолекулярные  
водородные связи

тврждает отсутствие сквозного сопряжения в молекуле. В свою очередь, это объясняет отсутствие влияния взаимной ориентации нитрогруппы и заместителя у аминогруппы на значения геометрических параметров в нитрогуанильном фрагменте молекулы соединения I. Величина *ipso*-угла C(7)—C(2)—C(3), являющегося функцией электроотрицательности заместителя, составляет  $120,4(2)^\circ$  и находится в середине интервала  $113\text{--}125^\circ$ , наблюдаемого для молекул других ароматических соединений [9], что соответствует электроноакцепторным свойствам нитрогуанильной группы.

Среднее значение длины связи C—C в фенильной группе  $1,375(3)$  Å, что несколько меньше, чем в других ароматических соединениях [1]; в нитробензоле, например, эта величина составляет  $1,390$  Å [10]. Самые значения длин связей C—C варьируются в довольно широком диапазоне: от  $1,361(3)$  Å для связи C(4)—C(5) до  $1,392(3)$  Å для связи C(3)—C(4). Обращает на себя внимание отсутствие симметрии в геометрических параметрах фенильной группы. Отсутствие попарной эквивалентности связей C(2)—C(3)/C(2)—C(7), C(3)—C(4)/C(6)—C(7) и C(4)—C(5)/C(5)—C(6) и соответствующих валентных углов, при наличии только одного заместителя в бензольном цикле, нельзя объяснить внутримолекулярными причинами. Причиной этого может быть только межмолекулярное взаимодействие. Анализ кристаллического строения соединения I (рис. 2) показал наличие межмолекулярных контактов O(2)...C(3)  $3,116(3)$  Å и N(1)...C(3)  $3,265(2)$  Å. Указанные межатомные расстояния находятся на границе допустимых интервалов ( $3,11$  и  $3,27$  Å для контактов O...C и N...C соответственно), рекомендованных в работе [11] в качестве верхней границы ван-дер-ваальсовых взаимодействий. Участие электронной плотности *p*-орбитали атома углерода C(3) в межмолекулярном контакте ослабляет ее участие в делокализации электронной плотности внутри бензольного цикла, что приводит к увеличению длины связи C(3)—C(4). В свою очередь это приводит к перераспределению электронной плотности по всему бензольному кольцу. Таким образом, межмолекулярное взаимодействие между нитро- и фенильной группами соседних молекул в кристалле соединения I позволяет объяснить наблюданную неэквивалентность в геометрических параметрах фенильной группы соединения I. Дополнительно в пользу этого свидетельствуют данные ЯМР  $^1\text{H}$  и  $^{13}\text{C}$  спектроскопии [12]. В спектрах соединения I в растворе DMSO-*d*<sub>6</sub> описанное межмолекулярное взаимодействие отсутствует и наблюдается обычная для монозамещенных производных бензола попарная эквивалентность химических сдвигов сигналов от атомов C(3)/C(7), C(4)/C(6) и H(4)/H(8), H(5)/H(7).



#### Таблица 2

Геометрические характеристики межмолекулярных водородных связей NH...A  
в кристаллической структуре соединения I (длины связей в Å, углы в град.)

N—H	A	<i>d</i> (N—H)	<i>d</i> (H...A)	$\angle \text{NHA}$	<i>d</i> (N...A)
N(3)—H(1)	O(1)	0,86	1,94	129	2,570(2)
N(4)—H(2)	N(2)*	0,86	2,13	174	2,989(2)

\* N2: (-*x*, -*y*+1, -*z*).

Параметры внутримолекулярной водородной связи N(3)—H(1)...O(1) в соединении I (табл. 2) находятся на уровне значений, наблюдаемых для нитрогуанидина и его алкилпроизводных [ 3—5 ]. В кристалле молекулы соединения I связаны попарно двумя межмолекулярными водородными связями N(4)—H(2)...N(2). Такой тип межмолекулярного связывания также типичен для нитрогуанидинов [ 3—5 ].

Таким образом, в целом строение соединения I во многом соответствует строению нитрогуанидина и его алкилпроизводных, влияние арильного заместителя практически не сказывается на структурных параметрах нитрогуанильного фрагмента.

#### СПИСОК ЛИТЕРАТУРЫ

1. Allen F.H. // Acta Crystallogr. – 2002. – **B58**. – P. 380 – 388.
2. Vasiliev A.D., Astachov A.M., Molokeev M.S. et al. // Acta Crystallogr. – 2003. – **C59**. – P. o550 – o552.
3. Bracuti A.J. // J. Chem. Crystallogr. – 1999. – **29**. – P. 671 – 676.
4. Nordenson S. // Acta Crystallogr. – 1981. – **B37**. – P. 1543 – 1547.
5. Vasiliev A.D., Astachov A.M., Molokeev M.S. et al. // Acta Crystallogr. – 2003. – **E59**. – P. o193 – o194.
6. Астахов А.М., Дюгаев К.П., Кузубов А.А., и др. // Журн. структур. химии. – 2009. – **50**, № 2. – С. 216 – 226.
7. Астахов А.М., Ревенко В.А., Бука Э.С. // Изв. вузов. Химия и хим. технология. – 2005. – **48**, вып. 8. – С. 39 – 41.
8. Sheldrick G.M. // SHELX-97 Release 97-2. University of Göttingen, Germany, 1998.
9. Симонетта М., Гавезотти А., Кучицу К. и др. Молекулярные структуры: прецизионные методы исследования. – М.: Мир, 1997. – С. 522 – 523.
10. Boese R., Bläser D., Nussbaumer M., Krygowski T.M. // Struct. Chem. – 1992. – **3**. – P. 363 – 368.
11. Зефиров Ю.В., Зоркий П.М. // Успехи химии. – 1989. – **58**. – С. 713 – 746.
12. Астахов А.М., Ревенко В.А., Рубайло А.И. и др. // Докл. I Всерос. конф. "Перспективы создания и применения конденсированных энергетических систем". – Бийск: Изд-во БТИ АлтГТУ, 2006. – С. 13 – 16.